

Nota de Estudo — Revisão de Newton-Raphson

Nota de Estudo — Revisão de Newton-Raphson

Autor: Fábio Magnani (fabio.magnani@ufpe.br)

Curso: Engenharia Mecânica - UFPE

Início do desenvolvimento: 31/08/2025

Primeira publicação: 08/09/2025

Versão Atual: v-2025-09-08-a (fase de teste técnico no Colab, teste didático-pedagógico com estudantes e início da revisão final de código/texto)

Objetivo

Revisar o Método de Newton-Raphson usando como exemplo um problema de trocador de calor de *Design of Thermal Systems*.

Referência

- Stoecker, W. F. *Design of Thermal Systems*, chap. 5, 3rd ed., McGraw-Hill, 1989.

Estrutura

- Enunciado do problema-exemplo (trocador de calor com condensação) e o seu modelo matemático.
- Análise de escala do problema-exemplo.
- Estudo paramétrico do problema-exemplo (U variável).
- Estudo paramétrico do problema-exemplo simplificado (U constante).

- Revisão do método de Newton-Raphson.
- Solução do problema-exemplo pelo método de Newton-Raphson.
- Discussões finais.
- Propostas de estudos adicionais.

Notação

- w : vazão mássica [kg/s]
- Q : potência térmica requerida [kW]
- $f(w)$: função resíduo usada no método de Newton-Raphson [kW]
- T_e, T_v : temperaturas de entrada da água e do vapor [°C]
- c_p : calor específico a pressão constante [kJ/(kg · K)]
- A : área efetiva de troca térmica [m²]
- h : passo para a diferença finita à frente

Problema-exemplo

Enunciado físico: O trocador da Fig. 1 aquece água a partir da condensação de vapor. A água entra a $T_e = 30^\circ\text{C}$, o vapor entra a $T_v = 50^\circ\text{C}$, e o condensado sai também a 50°C . Queremos determinar a vazão mássica de água, w (kg/s), tal que o calor transferido seja $Q = 50\text{ kW}$. A área de troca é $A = 1,4\text{ m}^2$ e o coeficiente global de transferência de calor, baseado nessa área, é função de w :

$$\frac{1}{U} = \frac{0,0445}{w^{0,8}} + 0,185 \quad [\text{m}^2 \text{ K/kW}].$$

Figura 1. Problema-exemplo: trocador de calor com condensação de vapor.

Pela 1a Lei aplicada ao lado frio, temos que:

$$Q = wc_p(T_s - T_e) \quad (2)$$

A Equação do Trocador de Calor é:

$$Q = UA\Delta T_{LM} = UA \frac{(T_v - T_s) - (T_v - T_e)}{\ln \frac{(T_v - T_s)}{(T_v - T_e)}} = UA \frac{(T_e - T_s)}{\ln \frac{(T_v - T_s)}{(T_v - T_e)}} \quad (3)$$

Comparando Eq.2 e Eq.3 vemos que:

$$wc_p(T_s - T_e) = -UA \frac{(T_s - T_e)}{\ln \frac{(T_v - T_s)}{(T_v - T_e)}} \Rightarrow \frac{(T_v - T_s)}{(T_v - T_e)} = e^{-\frac{UA}{wc_p}} \Rightarrow (T_v - T_s) = (T_v - T_e)e^{-\frac{UA}{wc_p}} \quad (4)$$

Ou:

$$(T_s - T_v) = -(T_v - T_e)e^{-\frac{UA}{wc_p}} + (T_e - T_e) \Rightarrow T_s = T_e + (T_v - T_e) - (T_v - T_e)e^{-\frac{UA}{wc_p}} \quad (5)$$

Que, finalmente, se transforma da **Equação do Trocador de Calor com Condensação** (*i.e.*, o lado quente opera com temperatura constante):

$$T_s = T_e + (T_v - T_e) (1 - e^{-UA/wc_p}) \quad (6)$$

Substituindo a Eq. 6 na Eq.2, temos:

$$Q = wc_p(T_v - T_e) (1 - e^{-UA/wc_p}) \quad (7)$$

Reescrevendo a Eq.1:

$$U = \frac{w}{0,0445w^{0,2} + 0,185w} \quad (8)$$

Substituindo a Eq.8 na Eq.7, chegamos no **modelo matemático** do problema-exemplo:

$$Q = wc_p(T_v - T_e) \left[1 - e^{-\frac{A}{c_p(0,0445w^{0,2} + 0,185w)}} \right] \quad (9)$$

Enunciado matemático: determine o valor de w que satisfaça a Eq.9 para os valores de $Q = 50$ kW; $A = 1,4$ m²; $c_p = 4,2$ kJ/kg·K; $T_v = 50^\circ\text{C}$ e $T_e = 30^\circ\text{C}$.

Análise de escala do modelo matemático

Para facilitar a análise, podemos escrever a Eq.9 assim:

$$Q(w) = w c_p \Delta T [1 - e^{-\xi}] \quad (10)$$

Com:

$$\Delta T = (T_v - T_e) \quad (11)$$

e

$$\xi(w) = \frac{A}{c_p (0,0445 w^{0,2} + 0,185 w)} \quad (12)$$

Limite assintótico quando a vazão tende a zero

Quando a vazão tende a zero ($w \rightarrow 0$), vemos que $\xi \rightarrow \infty$ e, conseqüentemente, $(1 - e^{-\xi}) \rightarrow 1$. Temos, então, que:

$$w \rightarrow 0 \implies Q \rightarrow 0 \quad (13)$$

O que não nos ajuda muito. Vamos ver então o que acontece com a derivada de Q . Derivando a Eq. 10 em relação a w , alcançamos:

$$Q'(w) = c_p \Delta T (1 - e^{-\xi}) - \Delta T A e^{-\xi} \frac{0,0089 w^{0,2} + 0,185 w}{(0,0445 w^{0,2} + 0,185 w)^2} \quad (14)$$

Portanto, como o segundo termo envolve uma exponencial multiplicada por uma potência, e como a exponencial domina a potência, temos que o segundo termo tende a zero. Em outras palavras:

$$w \rightarrow 0 \implies Q' \rightarrow c_p \Delta T \quad (15)$$

Em outras palavras, quando a vazão é muito baixa, o calor é proporcional à vazão ($Q \propto w$). Logo, para uma primeira estimativa, linearizando a curva (usando $w \approx \frac{Q}{c_p \Delta T}$), podemos propor que a vazão para o fluxo $Q = 50$ kW pode ser estimada por $w = 50 / (4,2 \cdot 20) = 0,595$ kg/s.

Limite assintótico quando a vazão tende ao infinito

Quando a vazão tende ao infinito ($w \rightarrow \infty$), temos que $w c_p \Delta T \rightarrow \infty$ ao mesmo tempo que $(1 - e^{-\xi}) \rightarrow 0$, e, por isso, precisamos de uma análise um pouco mais profunda. Primeiro, vemos que, quando a vazão cresce muito ($w \rightarrow \infty$), quem controla ξ é o termo $0,185w$. Então:

$$w \rightarrow \infty \Rightarrow \xi(w) \approx \frac{A}{0,185 c_p} \frac{1}{w} \quad (16)$$

Lembrando que a Série de Taylor é dada por:

$$y(x) = y(a) + y'(a)(x - a) + \sum_{k=2}^{\infty} \frac{y^{(k)}(a)}{k!} (x - a)^k \quad (17)$$

E aplicando-a ao termo $(1 - e^{-\xi})$, expandindo em torno de $\xi = 0$, obtemos:

$$1 - e^{-\xi} = \xi - \frac{\xi^2}{2} + O(\xi^3) \sim \xi \quad (18)$$

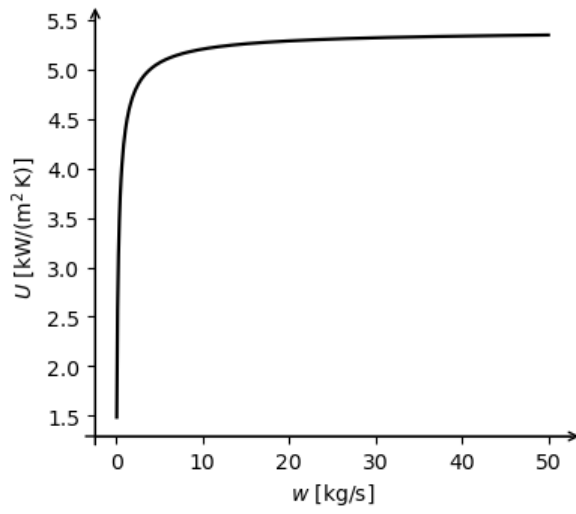
Logo:

$$w \rightarrow \infty \Rightarrow Q \rightarrow w c_p \Delta T \frac{A}{0,185 w c_p} \Rightarrow Q = \frac{A}{0,185} \Delta T \quad (19)$$

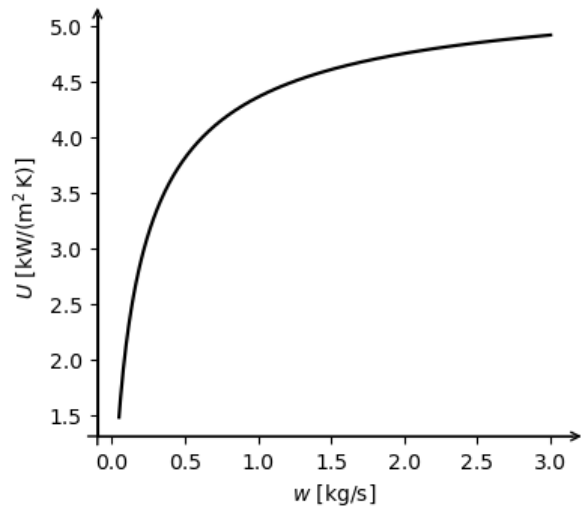
Então, quando a vazão cresce muito, podemos prever que a taxa de transferência de calor, Q , tende ao valor de $\frac{1,4}{0,185} 20 = 151,4$ kW.

Estudo Paramétrico 1 — influência de w em U , T_s e Q , considerando U variável

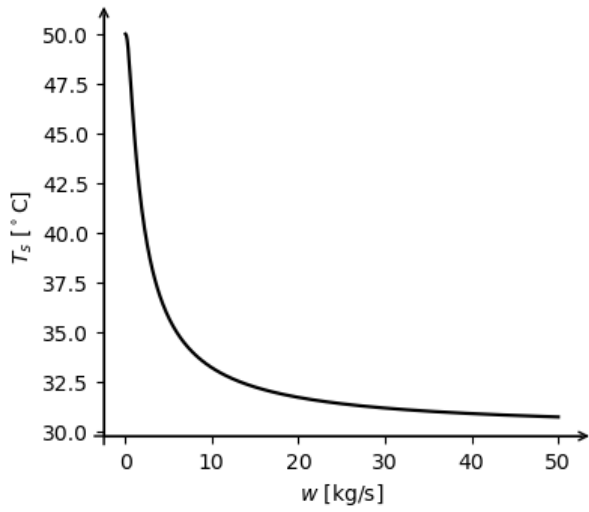
Vamos agora analisar numericamente como U (Eq.8), T_s (Eq.6) e Q (Eq. 7) se comportam em função de w .



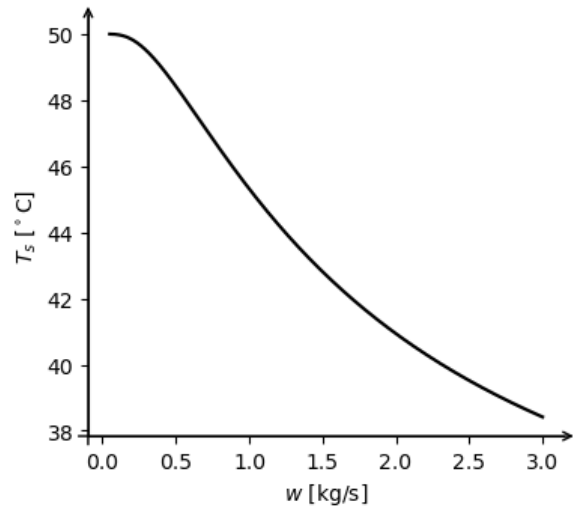
(a_i)



(a_{ii})



(b_i)



(b_{ii})

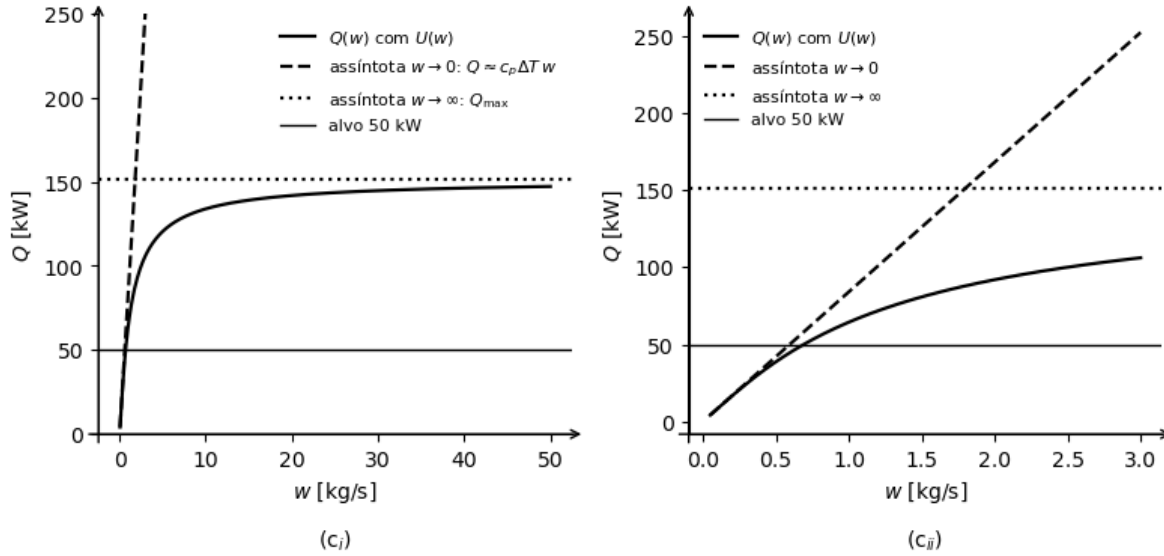


Figura 2. Comportamento de U , T_s e Q em função de w , considerando $U(w)$.

Os gráficos da Fig.2 são apresentados em duas colunas; a da esquerda com w variando em uma faixa maior $[0 \text{ a } 50]$, para enfatizar a assíntota para valores mais altos de w e também a forma total da curva; e a coluna da direita mostrando apenas a faixa mais próxima da raiz $[0 \text{ a } 3]$, o que nos permite tanto ver a raiz da equação ($w \approx 0,7$) quanto a assíntota para baixos valores de vazão.

Comportamento de $U(w)$

- Quando $w \rightarrow 0$, vimos que o termo em $w^{0,2}$ domina o denominador da Eq.8. Logo, $U(w) \sim \frac{1}{0,0445} w^{0,8}$ (i.e., $U(w)$ cresce com lei de potência).
 - Para $w \rightarrow \infty$, quem domina o denominador é o termo em w . Então, $U(w) \rightarrow \frac{1}{0,185} \approx 5,405 \text{ kW}/(\text{m}^2 \text{ K})$ (i.e., $U(w)$ tende a um platô).
- Nas figuras 2(a_i) e 2(a_{ii}), esses dois comportamentos aparecem claramente, primeiro como o crescimento rápido em baixas vazões, e depois com a saturação para altas vazões.

Assíntotas de $Q(w)$ sobrepostas ao gráfico

- Quando $w \rightarrow 0$, $Q(w) \approx c_p \Delta T w$. Com os dados que temos, $c_p \Delta T = 4,2 \times 20 = 84 \text{ kW}/(\text{kg/s})$.
A curva de Q coincide com essa reta muito perto de $w = 0$.

- Quando $w \rightarrow \infty$, $Q(w) \rightarrow Q_{\max}$, com $Q_{\max} = \frac{A}{0,185} \Delta T = \frac{1,4}{0,185} \times 20 \approx 151,35 \text{ kW}$. No gráfico, essa é a linha horizontal que a curva de Q se aproxima por baixo. Nas figuras 2(b_i) e 2(b_{ii}), vemos como essas duas assíntotas explicam a curva geral de $Q(w)$, *i.e.*, crescimento quase linear no começo e saturação no fim.

Raiz provável para $Q = 50 \text{ kW}$ em $w \approx 0,7$

- Como $50 \text{ kW} \ll Q_{\max} \approx 151,35 \text{ kW}$, a solução está bem antes da saturação.
- Visualmente, a interseção $Q(w) = 50$ ocorre em $w \approx 0,7 \text{ kg/s}$, coerente com a aproximação linear $w \approx Q/(c_p \Delta T) = 50/84 \approx 0,595$ e com a solução numérica que veremos mais abaixo ($w \approx 0,693$).
- Interpretação: ainda estamos no regime quase linear ($Q \propto w$), então controlar Q via w é eficiente nesse ponto.

Temperatura de saída $T_s(w)$

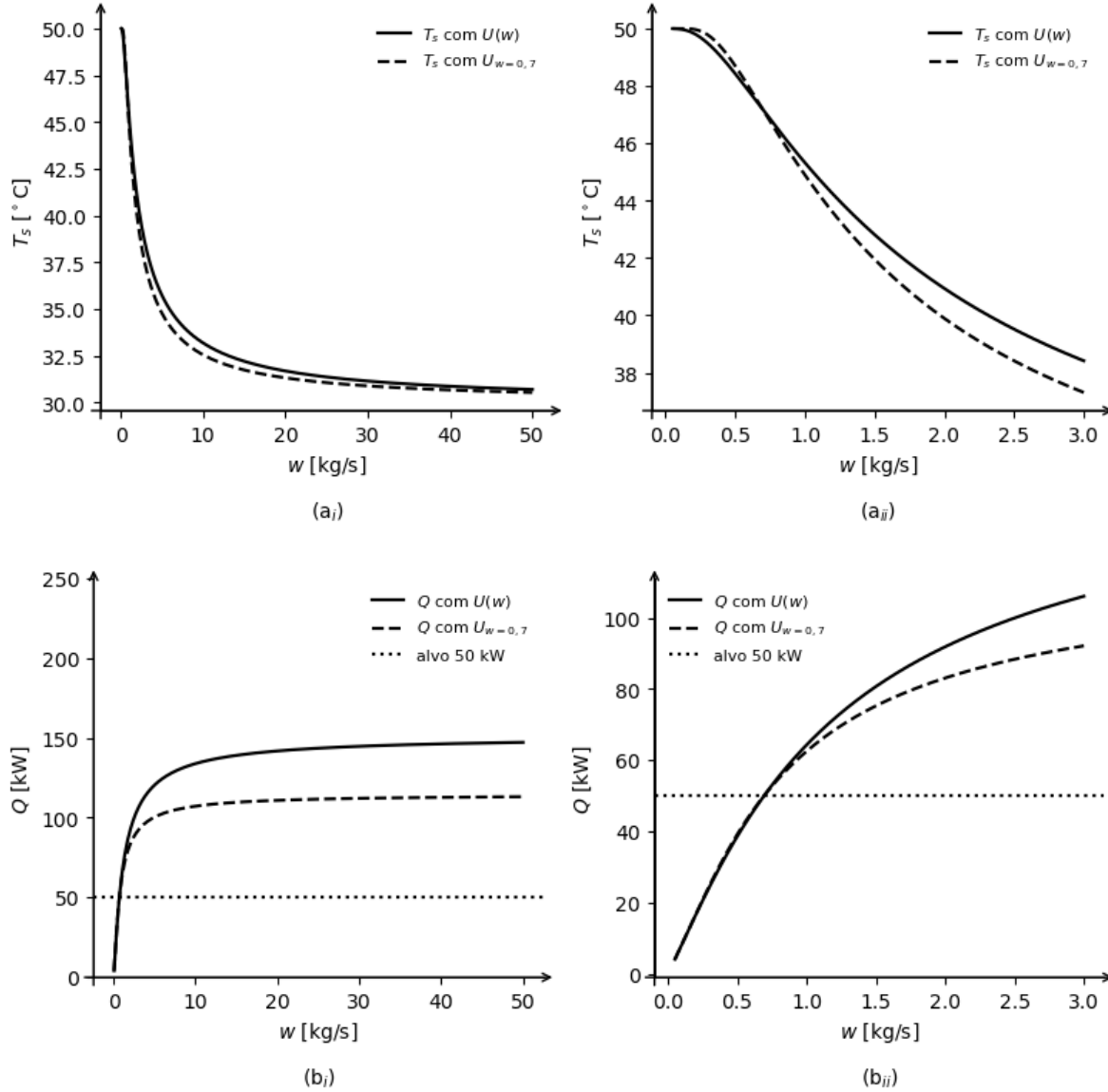
- Para w pequeno: ξ grande, $1 - \exp(-\xi) \rightarrow 1 \Rightarrow T_s \approx T_v = 50^\circ\text{C}$ (a água quase atinge o vapor).
- Para w grande: ξ pequeno, $1 - \exp(-\xi) \sim \xi \propto 1/w \Rightarrow T_s \rightarrow T_e = 30^\circ\text{C}$ (tempo de residência curto).

Leitura de projeto

- As assíntotas dão duas informações chaves sem cálculo: inclinação inicial $84 \text{ kW}/(\text{kg/s})$ e capacidade máxima $\approx 151,35 \text{ kW}$.
- O ponto de operação desejado (50 kW) fica muito abaixo do platô, com solução única e boa sensibilidade a w .
- Se, no futuro, o alvo se aproximar do platô, aumentar w trará ganhos marginais; seria mais efetivo atuar em A ou em ΔT .

Estudo Paramétrico 2 — influência de w em T_s e Q , considerando U constante.

Neste estudo, faremos algo muito parecido com o estudo anterior. No entanto, vamos considerar U constante (avaliado em $w = 0,7$). Nosso objetivo é compreender os efeitos que U variável tem sobre o comportamento do trocador de calor.



$$U(0.7) = 4.095096 \text{ kW}/(\text{m}^2 \cdot \text{K})$$

Figura 3. Comportamento de T_s e Q em função de w , considerando U constante.

Estudo Paramétrico 2 — comparação $U_{w=0,7}$ (constante) vs. $U(w)$ (variável)

Os resultados seguem o esperado. Com o coeficiente global de transferência de calor fixo em $U_{w=0,7}$, o modelo: - Superestima Q e T_s para $w < 0,7$, pois o $U(w)$ real é menor nessa faixa. - Subestima Q e T_s para $w > 0,7$, pois o $U(w)$ real cresce em direção ao platô 1/0,185.

Comparando ao modelo com $U(w)$, o erro próximo de $w \approx 0,7$ é pequeno. Se considerarmos toda a faixa de operação, o erro em T_s atinge cerca de $\sim 5\%$, enquanto o erro em Q pode chegar a $\sim 30\%$ em vazões altas; evidenciando a importância de usarmos $U(w)$ variável se quisermos fazer análises globais.

Conclusão prática. Usar U constante é razoável para estudarmos o comportamento do trocador em torno do ponto onde U foi obtido. Já para investigar toda a faixa de vazão (ou operar longe de $w \approx 0,7$), o erro pode se tornar significativo; nesse caso, vamos preferir o modelo completo com $U(w)$.

Cálculo do valor de w que satisfaz a condição $Q = 50$ kW.

Agora que já analisamos o comportamento analítico e paramétrico da Equação do Trocador de Calor com Condensação (Eq.9), vamos voltar ao problema inicial, que é determinar o valor de w que satisfaça a condição de $Q = 50$ kW. Observando a Eq.9, percebemos que ela é implícita em w , quer dizer, não conseguimos isolar w de um lado da equação para podermos calcular o seu valor. A alternativa, então, é resolver essa equação por um método numérico.

Vamos escolher aqui o método de Newton-Raphson, por ser de rápida convergência, elegância analítica e simplicidade computacional; características que o tornaram o mais utilizado método para obtenção de raízes de equações.

Método de Newton–Raphson

Primeiro, vamos criar a função $f(w)$ a partir da Eq.9:

$$f(w) = Q - wc_p(T_v - T_e) \left[1 - e^{-\frac{A}{c_p(0,0445w^{0,2}+0,185w)}} \right] \quad (20)$$

Desta forma, o **problema matemático** pode ser enunciado como: encontre o valor de w que leva $f(w)$ a zero.

$$f(w) = 0 \quad (21)$$

Dedução geométrica do método de Newton-Raphson

Vamos supor que estamos procurando a raiz de:

$$y(x) = 0 \quad (22)$$

E digamos que podemos avaliar o valor da função $y(x)$ e sua derivada $y'(x)$ para qualquer valor de x . Uma alternativa seria percorrer todos os valores de x até encontrar o local onde $y(x) = 0$. Esse método é conhecido como **Busca Exaustiva**. O problema com ele é a demora para encontrar a outra solução. Existem outros métodos já vistos nos cursos de *Cálculo Numérico*, como o *Método da Bisseção*.

No método de *Newton-Raphson*, a pessoa começa a procura por um determinado valor inicial x_1 (esse valor em geral é arbitrado conhecendo a física do problema. No ponto x_1 , avaliamos $y(x_1)$ e $y'(x_1)$. Nesse momento, fazemos a **aproximação** de que a função $y(x)$ é uma reta (ver a Fig.2), e então encontramos o valor de x_2 que faria com que y_2 fosse zero:

$$y'(x_1) = \left. \frac{dy}{dx} \right|_{x_1} = \frac{y(x_2) - y(x_1)}{x_2 - x_1} = \frac{0 - y(x_1)}{x_2 - x_1} \quad (23)$$

O que implica em:

$$x_2 = x_1 - \frac{y(x_1)}{y'(x_1)} \quad (24)$$

Figura 2. Esquema do método de Newton-Raphson (primeiro passo).

Mas logo percebemos que x_2 não é a raiz de $y(x)$, porque a curva não é uma reta (simplificação que fizemos para chegar à Eq.24). No entanto, se tivermos escolhido um bom **valor inicial**, estaremos mais próximos da raiz. Fazemos então a mesma coisa no ponto 2, *i.e.*, avaliamos $y(x_2)$ e $y'(x_2)$, traçamos uma reta e rumamos para o ponto 3 (como pode ser visto na Fig 3):

$$x_3 = x_2 - \frac{y(x_2)}{y'(x_2)} \quad (24)$$

Figura 3. Esquema do método de Newton-Raphson (próximos passos).

Generalizando, o **Método de Newton-Raphson** é um processo iterativo que segue a seguinte relação até chegarmos o mais próximo o desejado da raiz:

$$x_{k+1} = x_k - \frac{y(x_k)}{y'(x_k)} \quad (24)$$

O Método de Newton-Raphson é bastante poderoso. Quando ele converge para a raiz, ele converge rapidamente. Quando ele diverge, há algumas estratégias (*i.e.*, limitar os valores possíveis de x), mas vamos focar na mais simples e usual, que é iniciar com um valor inicial diferente.

Derivada numérica

Vemos na Eq.24 que é necessário calcular o valor da derivada. Isso pode ser feito de duas formas: derivada analítica, quando possível e fácil, ou então a partir de alguma aproximação numérica. A aproximação numérica mais comum é pelo método das diferenças finitas à frente, na qual aproximamos a derivada por diferenças simples:

$$y'(x) = \frac{dy}{dx} = \lim_{h \rightarrow 0} \frac{y(x+h) - y(x)}{h} \approx \frac{y(x+h) - y(x)}{h} \quad (25)$$

Derivada analítica

Outra alternativa é calcular a derivada analítica. Para o problema exemplo deste *notebook*, temos que:

Sendo:

$$f(w) = Q - wc_p \Delta T [1 - e^{\xi}] \quad (26)$$

onde:

$$\xi(w) = -\frac{A}{c_p [a w^{0.2} + b w]} \quad (27)$$

com $a = 0,0445$ e $b = 0,185$; e com:

$$\Delta T = (T_v - T_e) \quad (28)$$

Então:

$$f'(w) = -c_p \Delta T [1 - e^{\xi} - w e^{\xi} \xi'(w)]$$

Com:

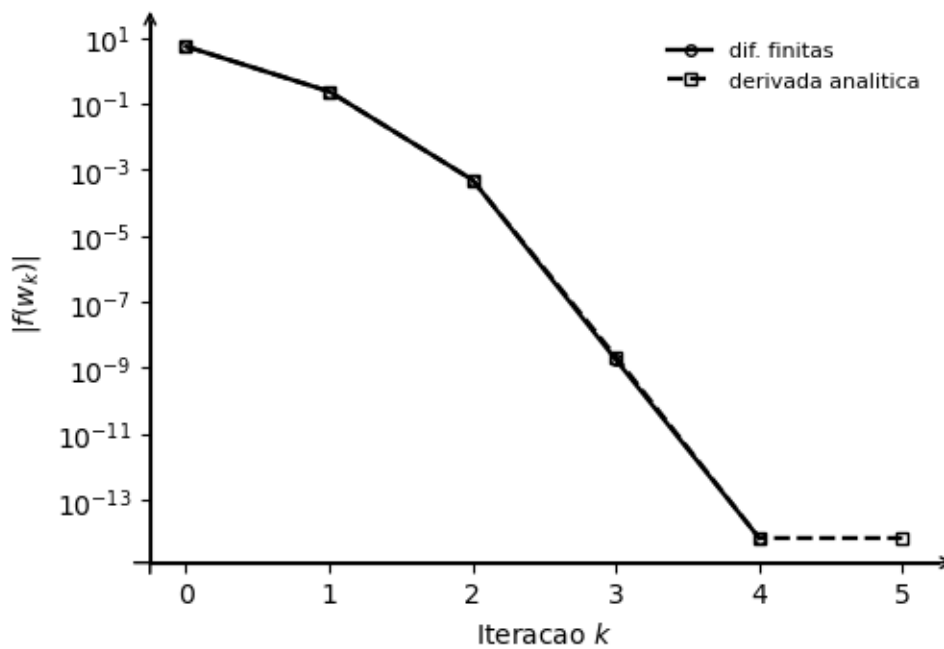
$$\xi'(w) = \frac{A(0.2aw^{-0.8} + b)}{c_p [aw^{0.2} + bw]^2}$$

Essa expressão serve como referência para comparar com a versão numérica. Vamos agora encontrar a raiz da Eq.24 por Newton-Raphson, usando a derivada numérica (por diferenças finitas à frente) e a derivada analítica.

Newton (dif. finitas): $w = 0.691871$ kg/s, $f(w) = -7.105427e-15$ kW

Newton (derivada analítica): $w = 0.691871$ kg/s, $f(w) = -7.105427e-15$ kW

$f'(w 0.691871)$: $df=-5.368351e+01$, $analitica=-5.368356e+01$, $erro_rel=8.153e-07$



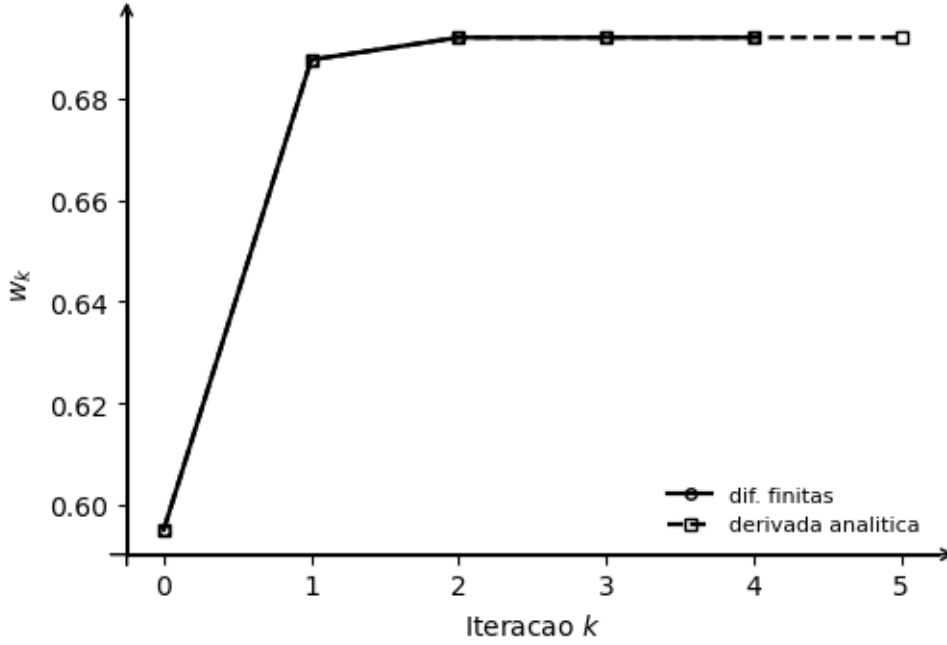


Figura 4. Convergência de $f(w)$ e w para cada iteração de Newton-Raphson.

Discussão dos Aspectos Numéricos

Comportamento de Newton–Raphson neste problema

Com o palpite simples

$$w_0 \approx \frac{Q}{c_p \Delta T},$$

as iterações convergiram de forma rápida e estável para a raiz w^* . Observou-se queda acentuada de $|f(w_k)|$ a cada passo e sequência w_k rapidamente estabilizada. A suavidade de

$$f(w) = Q - w c_p \Delta T [1 - \exp(\xi(w))], \quad \xi(w) = -\frac{A}{c_p (a w^{0.2} + b w)},$$

no domínio visitado favoreceu esse comportamento.

Diferença entre as duas derivadas neste problema

A derivada analítica,

$$f'(w) = -c_p \Delta T [1 - \exp(\xi) - w \exp(\xi) \xi'(w)], \quad \xi'(w) = \frac{A (0.2 a w^{-0.8} + b)}{c_p [a w^{0.2} + b w]^2},$$

e a aproximação por diferença finita à frente,

$$f'(w) \approx \frac{f(w+h) - f(w)}{h},$$

levaram ao mesmo w^* e com número de iterações muito parecido. Aqui isso acontece porque f é suave e o passo h foi estável.

Comportamento de Newton–Raphson em geral

Newton–Raphson é muito rápido **quando** há bom palpite, f e f' são regulares perto da raiz e a direção de passo é confiável. Fora dessas condições, pode oscilar, divergir ou sair do domínio, o que pode necessitar de técnicas adicionais mais robustas.

Diferença entre as duas derivadas em geral

A derivada analítica reduz iterações e evita a sensibilidade à escolha de h ; vale especialmente quando se busca tolerâncias finas ou quando avaliar f é caro. A diferença finita é universal e simples, mas equilibra erro de truncamento e arredondamento via h e pode reduzir a ordem efetiva de convergência.

Resumo final: quando disponível, use $f'(w)$ analítica; quando não, diferença finita bem escolhida resolve. Primeiro faça funcionar, depois refine.

Discussão Final

Nesta *nota de estudo*, nós revisamos o **Método de Newton-Raphson** usando como exemplo um trocador de calor com condensação coeficiente global de transferência de calor (U) variando com a vazão (w). Seguimos os seguintes passos:

1. Construção do modelo matemático
2. Análise de assíntotas do modelo matemático nos limites de w
3. Análise paramétrica de como várias grandezas (*i.e.*, U , T_s e Q) variam com o aumento da vazão
4. Estudo da influência da variação de U com w em relação a um modelo com U constante
5. Revisão do Método de Newton Raphson
6. Cálculo numérico da derivada que usando a aproximação das diferenças finitas à frente

7. Cálculo analítico da derivada que aparece em Newton-Raphson
8. Análise do resultado obtido por Newton-Raphson

Desta forma, aproveitamos um exemplo real para revisar a construção de um modelo matemático, o estudo de suas assíntotas e do seu comportamento em função dos parâmetros, e finalmente encontramos a solução do problema utilizando um famoso método numérico.

Novos Exercícios Práticos

- Estimar $U(w)$ com correlações empíricas
- Estudar a influência de A , ΔT e c_p no comportamento do trocador de calor.
- Experimente outros valores iniciais de w para estudar a convergência de Newton-Raphson.
- Procure na literatura científica dados experimentais de $U(w)$, ajuste os dados por mínimos quadrados e refaça este estudo.
- Estime a perda de carga no trocador em função de w e estime os custos de bombeamento para cada condição.
- Faça uma propagação de incertezas dos parâmetros para W e para a raiz de $f(W)$.
- Implemente outros métodos e compare com o Newton-Raphson que vimos nesta *nota de estudo*
 - Clássicos (*e.g.*, Bisseção, Busca Exaustiva).
 - Newton-Raphson e variações (*e.g.*, Secante, Newton Amortecido, Newton *Safe-guarded*).
 - Alternativos (*e.g.*, Ponto Fixo, *Regula Falsi*, Brent)
- Pesquise outros métodos de obtenção de raízes de funções.